

# مقاوم‌سازی بردار حرکت در برابر خطای کانال

## جهت پهلوی ویدئوی دریافتی

پوریا اعتضادی فر و حسن فرسی

دانشکده مهندسی برق و کامپیوتر - دانشگاه بیرجند - بیرجند - ایران

### چکیده

با توجه به پیشرفت فناوری در دهه‌های اخیر، ارسال و دریافت ویدئو از طریق کانال‌های مخابراتی بی‌سیم با استقبال گسترده‌ای رو به رو شده است. بدین منظور روش‌های بسیاری جهت بالابردن کیفیت ویدئوی ارسالی ارائه شده‌اند. یکی از مواردی که کیفیت فایل‌های ویدئویی را کاهش می‌دهد، وجود خطای در مقادیر بردارهای حرکت است. در صورت ایجاد خطای در مقادیر بردارهای حرکت، تصاویر ایجادشده مقداری نسبت به حالت قبلی خود جایه‌جا می‌شوند و کیفیت فریم دریافتی را به صورت قابل توجهی پایین می‌آورند. در این مقاله به منظور مقابله با این مشکل و همچنین بالابردن PSNR، از افزایش نرخ کدگذاری کانال در یک نرخ ارسال ثابت استفاده می‌شود. در روش پیشنهادی، ابتدا با استفاده از پنجرهایی با اندازه  $8 \times 8$  جستجو در فریم مورد نظر شروع می‌شود. پس از اتمام جستجو بلوک‌هایی که در همسایگی یکدیگرند و دارای مقدار حرکت صفر (بدون حرکت) هستند با یکدیگر ترکیب می‌شوند و این امر منجر به ساخته شدن بلوکی با ابعاد بزرگ‌تر می‌شود. همچنین بلوک‌هایی که دارای مقدار حرکت برابر بوده‌اند نیز با یکدیگر ترکیب و به دو روش مختلف به گیرنده ارسال می‌شوند. آزمایش‌های انجام‌شده نشان می‌دهند که روش پیشنهادی بدون افزایش حجم اطلاعات ارسالی برای هر فریم، توانسته است فریم‌های ویدئویی را نسبت به خطاهای کانال مقاوم‌تر سازد. در انتها نتایج به دست آمده با چندین نرخ ارسال برای منبع و چندین SNR برای کانال با نتایج به دست آمده از روش‌های متداول مقایسه شده است. پس از مقایسه روش پیشنهادی با روش‌های متداول، این نتیجه به دست آمد که با مقاوم‌سازی بردارهای حرکت، با استفاده از افزایش نرخ کدگذاری در بردارهای همسایه دارای مقدار یکسان، می‌توان کیفیت فریم‌های ویدئویی دریافت شده را در حد قابل قبولی افزایش داد.

وازگان کلیدی: ترکیب بلوک‌ها - کدگذاری فریم‌های ویدئویی - نرخ بیت متغیر - کدگذاری کانال.

### ۱- مقدمه

تاکنون روش‌های بسیاری برای کاهش و حذف خطای ناشی از ارسال ویدئو در محیط‌های بی‌سیم ارائه شده است (Moreira, 2006). یکی از کارآمدترین این روش‌ها کدگذاری کانال است که برای تشخیص و تصحیح خطای به کار گرفته می‌شود. در سال‌های اخیر، روش‌هایی متنوعی در رابطه ترکیب توأم کدگذاری منبع و کانال<sup>۲</sup> معرفی شده است. روش‌های متداولی برای کدگذاری همزمان منبع و کانال وجود دارد که به‌طور عمومی براساس تخمین کانال صورت می‌پذیرند (Bystrom, 2000; Cheung, 2000; Kondi, 2002; Zhai, 2006). روش به کار گرفته شده در این مقاله با

رشد روزافزون استفاده از مخابرات بی‌سیم و تمایل به استفاده از دستاوردهای مخابرات مدرن برای ارسال داده‌های چندسرانه ای<sup>۱</sup> بی‌درنگ همچون ویدئو، ضرورت تحقیق و مطالعه در این زمینه را نمایان می‌کند. روش‌های مختلف کدگذاری ویدئو برای رسیدن به نرخ بیت پایین‌تر و در عین حال با کاهش کیفیت اندک مطرح شده‌اند (Flierl, 2004).

در مخابرات بی‌سیم و سیار خطای ذاتی محیط‌های بی‌سیم منجر به کاهش کیفیت ویدئوی دریافتی در گیرنده می‌شود.

<sup>1</sup> Multimedia

<sup>2</sup> Joint Source and Channel Coding (JSCC)

## ۲- نحوه کدگذاری فریم‌های ویدئویی

در این بخش ابتدا به صورت خلاصه به معرفی گروه تصاویر<sup>۵</sup> می‌پردازیم و در مرحله بعد نحوه کد و کدگشایی کردن فریم‌های ویدئویی با استفاده از MPEG-4 را توضیح می‌دهیم.

در استاندارد MPEG، سه نوع تصویر معرفی که به اختصار با I و P و B نشان داده می‌شوند. از ترکیب این تصاویر با هم گروه تصاویر ساخته می‌شود. نمونه‌ای از ساختار گروه تصاویر در شکل (۱) نشان داده است.

به تصویری که با استفاده از اطلاعات موجود در خود آن تصویر کد می‌شوند، تصویر I گفته می‌شود. بنابراین برای فشرده‌سازی این تصاویر از روش‌های فشرده‌سازی مثل JPEG استفاده می‌شود (Salomon, 2004). به تصویری که با استفاده از نزدیکترین تصاویر P و یا I قبلی تخمین زده می‌شوند، تصویر P گفته می‌شود؛ در این نوع کدگذاری از جبران ساز حرکت نیز استفاده می‌شود. به تصویری که با استفاده از تصاویر P و یا I قبلی و بعدی که به عنوان مرجع هستند تخمین زده می‌شوند، تصویر B گفته می‌شود. در این نوع کدگذاری نیز از جبران ساز حرکت استفاده می‌شود. فقط از گروه تصاویر دو نوع فریم تصویر I و تصویر P را انتخاب کرده‌ایم. علت انتخاب این تصاویر آن است که در تصویر B به دلیل اینکه تخمین با استفاده از فریم‌های قبل و بعد صورت می‌پذیرد، سامانه باید تا زمانی که فریم بعد وارد و ذخیره شود منتظر بماند تا بتواند با استفاده از آن تخمین انجام دهد. بنابراین سامانه دچار تأخیر می‌شود. از این‌رو از تصویر B در این نوع کدگذاری استفاده نمی‌شود.

### ۲-۱- مروری بر روش کدگردان MPEG-4

در این مقاله از ۲ part MPEG-4 استفاده شده است. ساختار کدگذاری و کدگشایی کردن I و P به ترتیب در شکل‌های (۲) و (۳) نشان داده شده است. در ادامه به توضیح برخی از عملیات استفاده شده در کدگذار و کدگشا نشان داده شده در شکل‌های مذکور (البته به غیر از قسمت کدکننده کانال) پرداخته می‌شود.

#### ۲-۱-۱- مرتب سازی مجدد<sup>۶</sup>

بعد از چندی کردن ضرایب DCT، با توجه به زیاد بودن مقادیر صفر، ضرایب به صورت زیگزاگ کنار یکدیگر قرار داده

<sup>5</sup> Group Of Pictures (GOP)

<sup>6</sup> Reorder

روش‌های اشاره شده در مراجع (Bystrom, 2000; Cheung, 2000; Kondi, 2002; Zhai, 2006)

این روش به منظور مقاومسازی نواحی که عیناً در دو فریم تکرار می‌شوند، می‌باشد (البته این نواحی باید تعداد پیکسلی بیشتر از حداقل تعداد پیکسل تعیین شده به عنوان حد آستانه داشته باشند). این نواحی می‌توانند در دو فریم در یک محل ثابت قرار گرفته باشند یا اینکه در دو فریم نسبت به یکدیگر دارای حرکت باشند. با انجام این نوع کدگذاری با توجه به توضیحات بخش ۵، می‌توانیم فریم‌های ویدئویی ارسالی را نسبت به کانال، مقاوم‌تر سازیم. یکی از مشکلات روش‌های به کار گرفته شده در (Bystrom, 2000; Cheung, 2000; Kondi, 2002; Zhai, 2006) این است که باید اطلاعات کانال در دسترس باشد و بسته به اعوجاج کانال نرخ کدگذاری منبع و کانال را تغییر دهند؛ اما روش پیشنهادی وابسته به تغییرات کانال نبوده و قادر است بر روی هر کدگذاری منبعی به صورت مستقل عمل کرده و کیفیت تصاویر دریافتی در گیرنده را افزایش دهد. در ادامه ابتدا به معرفی چند پارامتر استفاده شده در مقاله می‌پردازیم و در قسمت بعد به توضیح پیکره‌بندی مقاله اشاره‌ای خواهیم داشت. در این مقاله اساس سنجش کیفیت فریم‌های دریافتی بر حسب بیشینه نسبت توان سیگنال به توان نوفه یا<sup>۱</sup> PSNR و همچنین نرخ خطای بیت یا<sup>۲</sup> BER است که میزان خطای ایجاد شده توسط کانال بر روی اطلاعات را بیان می‌کند. این مقاله به صورت زیر ساماندهی شده است:

در بخش ۲، ابتدا روش کدگذاری فریم‌های ویدئویی با استفاده از ۲ part MPEG-4 برای دو فریم تصویر<sup>۳</sup> و تصویر<sup>۴</sup> P را معرفی و در بخش ۳، کدگذاری کانالی را که در این مقاله استفاده شده است بررسی می‌کنیم. در بخش ۴، روش پیشنهادی را مطرح کرده و به صورت کامل به توضیح آن می‌پردازیم؛ سپس در بخش ۵، به ارزیابی روش پیشنهادی و مقایسه داده‌های خروجی با روش به کار گرفته شده در مراجع (Dissanayake, 2012; Farooq Sabir, 2008) که (که روش‌های جدیدی هستند) می‌پردازیم.

<sup>1</sup> Peak Signal to Noise Ratio

<sup>2</sup> Bit Error Rate

<sup>3</sup> Intra-picture

<sup>4</sup> Predicted-Picture





#### ۲-۱-۴- بلوک تخمین‌گر حرکت

بلوک تخمین‌گر حرکت براساس معیار محاسبه کمترین میانگین مربعات خطای تطبیق بین دو فریم متولی کار می‌کند که نحوه کار آن براساس پیاده‌سازی معادلات ۲۱ و ۲۰ می‌باشد.

$$\text{MSE}(d_x, d_y) = \frac{1}{M_1 N_1} \sum_{(m,n) \in W} (b[m, n, k] - b[m - d_y, n - d_x, k - 1])^2 \quad (1)$$

$$\begin{pmatrix} d_x \\ d_y \end{pmatrix} = \arg \min_{(d_x, d_y)} \text{MSE}(d_x, d_y) \quad (2)$$

در معادله ۱ آرگمان سوم متغیر  $b$  شامل  $(k)$  و  $(l)$  پیکسل‌های دو فریم پشت سرهم را فراخوانی می‌کند و دو متغیر  $m$  و  $n$  مکان یک پیکسل را در فضای دوبعدی هر فریم نشان می‌دهد. متغیر  $W$  نشان‌دهنده پنجره‌ای است که باید در آن بازه جستجو صورت گیرد و بردار تخمین حرکت با  $W=15$  جستجو در این بازه به دست می‌آید؛ که در این مقاله در نظر گرفته شده است. این بدان معناست که پنجره‌ای با اندازه  $16 \times 16$  برای جستجو انتخاب می‌شود و طول پنجره تخمین  $8 \times 8$  است. همچنین  $M_1$  و  $N_1$  اندازه پنجره جستجو را نشان می‌دهند که در اینجا هر دو برابر با  $16$  است. به عبارت دیگر، در بازه پنجره جستجو دو فریم متولی را با یکدیگر مقایسه می‌نماید و کمترین مقدار به عنوان یکی از اعضای ماتریس تخمین حرکت ذخیره می‌شود. در مرحله بعد پس از تخمین کامل فریم مورد نظر و ساخته شدن ماتریس تخمین حرکت، مقدار تخمین‌زده شده از فریم قبلی DCT کم می‌شود. در انتهای مقدار به دست آمده به بلوک DCT اعمال می‌شود. پس از عبور از بلوک DCT مقدار به دست آمده با  $64 \times 64$  سطح چندی شده و در انتهای بلوک‌های DCT را جهت ارسال به کانال با استفاده از روش هافمن کد می‌کند همان‌طور که در شکل (۳) نشان داده شده است ابتدا عمل معکوس چندی سازی صورت می‌پذیرد و پس از آن عکس تبدیل DCT از اطلاعات چندی شده معکوس گرفته می‌شود و در مرحله آخر با استفاده از ماتریس تخمین حرکت، فریم دریافتی را با فریم قبلی جمع کرده و به این ترتیب فریم دریافتی را بازیابی می‌کند.

می‌شوند. با این کار مقادیر مربوط به فرکانس‌ها گروه‌بندی می‌شوند (Richardson, 2003). نحوه چیدمان زیگزاگ در شکل (۴) نشان داده شده است.

#### ۲-۱-۲- بسته‌بندی داده‌ها<sup>۱</sup>

وجود خطای در هنگام ارسال داده‌ها، باعث از بین رفتن همزمانی بین فریم‌های ارسالی می‌شود. برای چیره‌شدن به این مشکل نیاز به سازوکار همزمان‌ساز مجدد است. یکی از راه‌های همزمان‌سازی فریم‌های ارسالی، استفاده از ارسال داده‌ها به صورت بسته‌بندی<sup>۲</sup> است. به این منظور در هر بسته تعدادی نشانه<sup>۳</sup> برای همزمان‌سازی قرار داده می‌شود. کدکننده هر فریم را به بسته‌هایی تقسیم می‌کند و نشانه‌های مربوط به همزمانی را در ابتدای هر بسته قرار می‌دهد. کدکننده و کدگشنا هنگام رسیدن به نشانه‌های قرار داده شده در اول هر بسته، عملیات همزمان‌سازی را دوباره انجام می‌دهند. به این ترتیب باعث می‌شوند همزمان‌سازی بین فریم‌ها از بین نرود و از ایجاد خطای جمع‌شوندنگی<sup>۴</sup> جلوگیری شود (Shi, 1999).

#### ۲-۱-۳- قسمت‌بندی داده‌ها<sup>۵</sup>

در این مدل داده‌های بسته‌بندی شده به دو ناحیه تقسیم می‌شوند. ایده اصلی این مدل، جداسازی داده‌ها با ارزش بیشتر (ضرایب DC ماتریس DCT، اطلاعات روش کدگشایی و بردارهای حرکت) از داده‌ها با ارزش پایین‌تر (ضرایب AC ماتریس DCT و خطاهای باقیمانده) است. برای ارسال تصویر I، اولین ناحیه، شامل اطلاعات روش کدگشایی منبع و همچنین ضرایب DC است؛ اما ناحیه دوم که داده‌های با ارزش پایین‌تر را دارد، شامل ضرایب AC است. برای ارسال تصویر P اولین ناحیه شامل اطلاعات روش کدگشایی منبع و همچنین بردارهای حرکت است، در حالی که ناحیه دوم شامل اطلاعات DCT (بافت، ضرایب DC و AC) است. برای همزمان‌سازی در قسمت‌بندی داده‌ها نیز از نشانه‌گذاری استفاده می‌شود، که این نشانه‌گذاری یکتا است. شکل (۵) نحوه ساختار بسته‌بندی برای MPEG-4 را نشان می‌دهد.

<sup>1</sup> Packetization

<sup>2</sup> Packetize

<sup>3</sup> Marker

<sup>4</sup> Additive-error

<sup>5</sup> Data Partitioning

### ۳- کدگشایی کانال

$$\alpha^{j1} = \frac{S_2}{S_1} \Rightarrow Error\ Place \quad (6)$$

$$e_{j1} = \frac{S_1^2}{S_2} \Rightarrow ErrorValue$$

رابطه نزخ کدکننده کانال در معادله ۷ نشان داده شده است، که واحد آن بیت بر ثانیه است.

$$R_c = \frac{k}{n} \quad (7)$$

در رابطه ۷،  $k$  تعداد بیت‌های مربوط به اطلاعات فریم و بردارهای حرکتی که قرار است کد شوند، است.  $n$  نیز طول رشته ساخته شده برای ارسال است که شامل پیام اصلی و اطلاعات اضافه شده توسط کدگذار کانال است. انکدر با مؤلفه های بالا قادر است به میزان  $\frac{n-k}{2}$  خطرا تشخیص و تصحیح کند. بنابراین هر چه میزان  $n-k$  (تعداد بیت‌های توازن) بیشتر باشد، تعداد بیشتری از بیت‌های پیام را می‌توان تصحیح کرد.

### ۴- خطرا در بردار حرکت

پس از بررسی تعداد زیادی از فایل‌های ویدئویی که از کانال مخابراتی عبور کرده بودند، به این نتیجه رسیدیم که الگوریتم کدکننده ویدئو نظریه-۴ (H.264, MPEG-4, Fleirl, 2004) و الگوریتم جدید ارائه شده توسط آقای Farooq Sabir (Farooq Sabir, 2009)، در قسمت تخمین حرکت دچار ضعف است؛ زیرا الگوریتم‌های معرفی شده هیچ تلاشی جهت مقاوم‌سازی بردار حرکت نکرده‌اند. و بدین دلیل می‌توان این امر را به عنوان یک نقص و ضعف سامانه‌های معرفی شده تلقی کرد. همچنین از جهتی دیگر علت این ضعف را به این صورت می‌توان توضیح داد که هنگامی فریم‌ها از کانال مخابراتی عبور می‌کنند، تعدادی از بردارهای حرکت مربوط به بلوك‌های داخلی هر فریم دارای خطرا می‌شوند و در گیرنده، قسمتی از تصویر با استفاده از بردار حرکت اشتباه بازسازی می‌شود. این امر باعث می‌شود قسمتی از تصویر، اطلاعاتش را به طور کامل از دست بدهد و تصویر بازسازی شده دارای قسمت‌هایی می‌شود که از لحاظ دیداری چنین می‌نمایاند که قسمتی از تصویر به محل دیگری منتقل شده است و یا این‌که اطلاعات در برخی از نواحی به کلی از دست رفته است. برای مثال، همان‌طور که در شکل (۶) نشان داده شده تصویر Foreman (Xinb, 2007) پس از دریافت از کانال مخابراتی با خطرا<sup>۱۰</sup> دارای نواحی زیادی است که به طور کامل از بین

در این مقاله از کدکننده Reed-solomon برای کدگذاری کانال استفاده شده است. این کد، طبقه‌ای از کدهای BCH دوره‌ای (Shannon, 1998; Carlson, 1986)، خطی و غیر دودویی که توسط میدان GF(q) ساخته می‌شوند، می‌باشد (Shannon, 1948). دلیل استفاده از این نوع کدگذاری، غیر دودویی بودن آن است. بدین صورت که اطلاعات هر بلوك را می‌توان بدون اینکه بلوك مورد نظر را به مبنای دودویی تبدیل کند، به طور مستقیم کد نماید و بدین صورت سرعت کدگذاری فریم‌های ویدئویی بالاتر می‌رود. در این روش با فرض اینکه پیغام کدشده C(X) ارسال گردیده و پیام نویفه‌ای شده (X)<sup>۱۱</sup> در گیرنده دریافت می‌شود، داریم:

$$r(X) = r_0 + r_1 X + \dots + r_{n-1} X^{n-1} \quad (3)$$

همچنین چندجمله‌ای خطرا (X)<sup>۱۲</sup> و رابطه آن با پیام ارسالی و دریافتی در معادله ۴ آورده شده است.

$$e(X) = e_0 + e_1 X + \dots + e_{n-1} X^{n-1} \quad (4)$$

$$r(X) = C(X) + e(X)$$

بنابراین با توجه به اینکه  $\alpha^n$  ریشه‌های C(X) می‌باشند ( $C(\alpha^i) = 0$ ) و همچنین با توجه به معادله ۴ می‌توان نشان داد که:

$$r(\alpha^i) = C(\alpha^i) + e(\alpha^i) = e(\alpha^i)$$

در این نوع کدگذاری برای پیداکردن خطرا علاوه‌بر محل خطرا باید مقدار خطرا نیز محاسبه شود. با توجه به مقدار متغیر  $t$  و همچنین رابطه  $\alpha^t = \beta$  می‌توان با استفاده از معادله ۵ محل و مقدار خطرا را بدست آورد. این نوع کدگذاری قادر است هر الگوی خطرا با طول  $t$  یا کمتر را تصحیح نماید.

$$S_1 = r(\alpha) = e(\alpha) = e_{j1}\beta_1 + e_{j2}\beta_2 + \dots + e_{jt}\beta_t \quad (5)$$

$$S_1 = r(\alpha^2) = e(\alpha^2) = e_{j1}\beta_1^2 + e_{j2}\beta_2^2 + \dots + e_{jt}\beta_t^2$$

⋮

$$S_2 = r(\alpha^t) = e(\alpha^t) = e_{j1}\beta_1^t + e_{j2}\beta_2^t + \dots + e_{jt}\beta_t^t$$

در ساده‌ترین حالت، در این کدگذاری با فرض  $t=1$  مقدار و محل خطرا با استفاده از معادله ۶ محاسبه می‌شود.

فصل نهم





شده است. البته در این مرحله نواحی ای که تنها شامل یک بلوک آند نیز حذف می شوند. لازم به ذکر است که منظور از حذف کردن نواحی، این است که دیگر آن ناحیه به صورت روش پیشنهادی کد نمی شود بلکه به صورت روش های استاندارد کدگذاری مانند MPEG-4 کد می شود.

در مرحله بعد تنها نواحی توسط الگوریتم پیشنهادی کد می شوند که تعداد بلوک های ترکیب شده در آن نواحی از ۴ بلوک بیشتر باشد (این سطح آستانه به صورت تجربی محاسبه شده است).

در شکل (۱۲) به منظور نشان دادن نواحی ای که قرار است حذف شوند، داخل آنها با چندین رنگ پر شده است (البته هدف از شکل (۱۲) تنها نشان دادن حوزه هایی است که از ادامه الگوریتم حذف می شوند). شکل (۱۳) تصویر نهایی پس از انجام عملیات حذف نواحی با تعداد بلوک کمتر از چهار را نشان می دهد؛ سپس برای ارسال بردار حکمت کدگذاری کanal را با توجه به تعداد بلوک قرار گرفته شده در هر ناحیه محاسبه می شود و برای هر ناحیه تنها یک بردار حکمت با نرخ کدگذاری متناسب با تعداد بیت هایی اضافی به دست آمده از بردارهای حکمت بلوک های موجود در هر ناحیه ارسال می شود؛ که این نرخ کدگذاری کanal حداقل چهار برابر نرخ کدگذاری کanal در کدکننده های استاندارد می باشد؛ زیرا در کوچک ترین حوضه، حداقل چهار بلوک وجود دارد. که به ازای ارسال چهار بردار حکمت برای تمامی بلوک ها تنها یک بردار حکمت ارسال می شود.

پس از ناحیه بندی با استفاده از الگوریتم معروف شده، قسمت هایی که شامل این نواحی نشده اند با استفاده از روش هایی معمول مانند MPEG-4 کد شده و ارسال می شوند. برای نشان دادن مقاوم تر شدن فریم ها نسبت به خطای کanal، تعداد بیت اختصاص داده شده برای هر بردار حکمت را بدین صورت در نظر می گیریم که تعداد شش بیت (سه بیت برای مقدار حکمت هر بردار در جهت محور افقی و عمودی بین صفر تا هفت) برای ارسال اندازه و جهت بردارهای حکمت استفاده می شود و همچنین تعداد ده بیت برای کدگذاری کanal بردارهای حکمت استفاده می شود که در مجموع شانزده بیت برای ارسال بردارهای حکمت استفاده می شود. بنابراین در حالت کلی اگر تعداد تمام بلوک های موجود در هر فریم برابر با  $M$  باشد، تعداد بیت های مورد نیاز برای ارسال بردارهای حکمت برابر با  $M \times 16$  می شود. حال اگر تعداد نواحی ساخته شده را در روش پیشنهادی که دارای

رفته است؛ که برخی از این قسمت ها به عنوان نمونه در شکل (۷) نشان داده شده است.

با توجه به مشکل الگوریتم های کدگذاری ویدئو به هنگام از دست رفتن اطلاعات بردار حکمت، الگوریتم پیشنهادی به صورت زیر نقص روش های موجود را برطرف می سازد.

## ۵- الگوریتم پیشنهادی

### ۵-۱- کدکننده الگوریتم پیشنهادی

نمودار الگوریتم پیشنهادی در شکل (۸) نشان داده شده است.

الگوریتم پیشنهادی به این صورت عمل می کند که ابتدا با استفاده از روش توضیح داده شده در بخش ۴، ۱، ۲، عملیات تخمین حکمت صورت می پذیرد. در مرحله بعد، جستجوی ثانویه انجام و در ادامه به توضیح آن پرداخته می شود.

### ۵-۱-۱- جستجوی ثانویه

در این مرحله تمام بلوک های مجاور هم که دارای بردار حکمت برابر (شامل بردارهای صفر که مربوط به قسمت هایی است که حركتی در دو فریم متواتی نداشته اند یا بردارهای غیر صفر هستند). می باشند در یک ناحیه قرار می گیرند. به عنوان مثال، همان طور که در شکل (۹) نشان داده شده است، ابتدا بردارهای حکمت برای یک فریم با توجه به فریم قبلی رسم شده است. قسمت هایی از تصویر که دارای بردارهای حکمت با اندازه برابرند، به صورت نمادین در شکل (۱۰) نشان داده شده اند. در این مقاله، از این پس، به هر یک از این قسمت ها که شامل تعدادی بلوک با بردارهای یکسانند ناحیه گفته می شود. در مرحله بعد، از داخل این نواحی، آنها که دارای ساختار مربعی یا مستطیلی اند استخراج می شوند. دلیل این امر آن است که برای ارسال مشخصات حوزه ها، تنها طول و عرض هر حوزه ارسال می شود. بنابراین برای مشخص کردن شکل حوزه ها دارای اشکال مختلفی باشد، نیاز است تا اطلاعات زیادی برای ارسال ساختار هر حوزه ارسال شود که انجام این کار باعث کاهش بازدهی روش پیشنهادی می شود. بنابراین از حوزه های ساخته شده تنها بر روی آنها ایجاد کار صورت می پذیرد که ساختار مستطیل یا مربعی داشته باشند. در شکل (۱۱) قسمت هایی که ساختار مربعی یا مستطیلی دارند، نشان داده

بیت کدکننده کانال برای روش‌های پکسان کدگذاری مانند MPEG-4 است. همانطور که در معادله ۱۰ نشان داده شده است، در بدترین حالت نرخ کدکننده کانال در روش پیشنهادی  $0.245$  برابر حالتی است که از روش‌های استاندارد MPEG-4 استفاده شود. این بدان معناست که تعداد بیتی که توسط گیرنده تصحیح می‌شود، برابر با نسبت عکس نرخ کدکننده کانال است؛ که این مقدار  $40.81$  برابر حالت کدکننده به روش‌های معمول است. البته باید به این نکته اشاره کرد که این افزایش نرخ کدگذاری کانال فقط بر روی برداهای حرکت نواحی انتخاب‌شده اعمال می‌شود. بنابراین مشاهده می‌شود که روش پیشنهادی با افزایش نرخ کدگذاری کانال برای برخی از برداهای حرکت در یک نرخ ارسال ثابت قادر است تصاویر را در مقابل خطای کانال مقاوم‌تر سازد. برای ارسال داده‌ها، قسمت‌هایی که با هم‌دیگر ترکیب شده‌اند در Header با استفاده از یک بیت از بقیه بلوک‌ها جدا می‌شوند و علاوه‌بر این اندازه قسمت‌های ترکیب‌شده نیز بر حسب تعداد بلوک ترکیب‌شده در راستای افقی و تعداد بلوک ترکیب‌شده در راستای عمودی ارسال می‌گردند؛ که در گیرنده با استفاده از این اطلاعات تصویر بازسازی می‌شود که به صورت نمایین در شکل (۱۴) نشان داده شده است.

با توجه به شکل (۱۴) تعداد نه بیت از بیت‌های به دست آمده با استفاده از معادله ۸ کم می‌شود. که در توضیحات معادله ۸ نیز بیان شده است.

## ۵- کدگشای الگوریتم پیشنهادی

نمودار کدگشای روش پیشنهادی در شکل (۱۵) نشان داده شده است. اساس الگوریتم کدگشا شبیه به روش‌های استاندارد شناخته‌شده مانند MPEG-4 است. با این تفاوت که بلوک‌های کدگشایی شده دارای اندازه  $8 \times 8$  نیستند. همان‌طور که در نمودار نشان داده شده ابتدا لازم است مشخص شود که داده ورودی مربوط به یکی از نواحی ترکیب‌شده است یا خیر. این عملیات با استفاده از اولین بیت موجود در Header دریافتی مشخص می‌شود. اگر اولین بیت، صفر باشد به این معناست که اطلاعات دریافت‌شده مربوط به تک‌بلوک با اندازه  $8 \times 8$  پیکسل است؛ ولی اگر یک باشد به این معناست که اطلاعات دریافت‌شده مربوط به ناحیه‌ای شامل چندین بلوک است. در قسمت بعد با استفاده از تعداد بلوک‌های موجود در ناحیه دریافت‌شده، نرخ کدگشای کانال

$L_i$  بلوک باشند؛ برابر با  $N_i$  در نظر بگیریم، تعداد بیت‌های  $N_b$  لازم برای ارسال بردار حرکت هر یک از این نواحی، برابر است با:

$$N_b = \frac{16 * \sum_{i=1}^j L_i N_i}{\sum_{i=1}^j N_i} \quad (8)$$

از  $N_b$  تعداد پانزده بیت کم می‌شود (شش بیت برای ارسال اندازه و جهت بردار حرکت و نه بیت برای ارسال ساختار هر ناحیه).

به منظور بررسی عملکرد بازدهی روش پیشنهادی، بدترین حالت (زمانی رخ می‌دهد که نواحی ساخته‌شده فقط دارای چهار بلوک باشند؛ زیرا در این صورت کمترین بیت را می‌توان با استفاده از الگوریتم پیشنهادی به دست آورد) را بررسی می‌کنیم. بنابراین با استفاده از معادله ۸ و با توجه به اینکه تعداد نواحی ساخته‌شده زناحیه و همچنین در هر ناحیه تعداد چهار بلوک وجود دارد، داریم:

$$B_{sav} = \frac{16 * \sum_{i=1}^j L_i N_i}{\sum_{i=1}^j N_i} \xrightarrow{L_i=4} \frac{16 * 4 * \sum_{i=1}^j N_i}{\sum_{i=1}^j N_i} = 64 bits \quad (9)$$

در معادله ۹ منظور از  $B_{sav}$  تعداد کل بیت‌های به دست آمده برای ارسال یک بردار حرکت است که از این مقدار همان‌طور که گفته شد پانزده بیت کم می‌شود. بنابراین در کل تعداد ۴۹ بیت برای کدکننده کانال برای هر فریم استفاده می‌شود. با استفاده از معادله ۷ نرخ کدکننده کانال برای روش پیشنهادی و نرخ کدکننده کانال برای برداهای حرکت در روش‌های معمول و یک‌دینه کدگذار نظریه MPEG-4 و همچنین نسبت آنها به ترتیب زیر محاسبه می‌شود:

$$\begin{aligned} R_c' &= \frac{4}{49} = 0.0816 \\ R_c &= \frac{4}{12} = 0.333 \\ \frac{R_c'}{R_c} &= \frac{0.0816}{0.333} = 0.245 \end{aligned} \quad (10)$$

در معادله ۱۰ منظور از  $R_c'$  نرخ بیت جدید کدکننده کانال با استفاده از روش پیشنهادی و  $R_c$  نرخ

فصل نهم



اندازه فریم‌ها برابر با  $352 \times 288$  برای فرمت CIF است. همچنین نرخ ارسال فریم برابر با ۲۵ فریم در ثانیه است. این شبیه‌سازی را برای سه نرخ ارسال منبع پیاده‌سازی کرده‌ایم و با توجه به اینکه تعداد فریم ارسالی ثابت است (نرخ کدکننده منبع ثابت است)، هرچه نرخ ارسال بالاتر باشد، در نتیجه نرخ کدکننده کانال بالاتر رفته و فریم‌های ویدئویی در مقابل نویه مقاوم‌تر می‌شوند. نرخ کدکننده کانال برای پنج فایل ویدئویی با نرخ‌های ارسال مختلف در جدول (۱) نشان داده است.

همان‌طور که در جدول (۱) نشان داده شده است، برای افزایش نرخ ارسال میزان بیت‌های استفاده‌شده برای کدکننده کانال را افزایش داده‌ایم که افزایش این میزان باعث افزایش مقدار انرژی فریم‌های دریافتی در گیرنده می‌شود.

پس از پیاده‌سازی روش پیشنهادی، نتایج به دست آمده را با نتایج به دست آمده از روش‌های دیسایاناکی، فاروق و الانگوان مقایسه کرده‌ایم. به عنوان مثال برای نشان دادن بهبود فریم‌های دریافتی در گیرنده، دهmin فریم از ویدئو فورمن را که با استفاده از فریم قبل کد شده است، برای مقایسه با روش فاروق به‌ازای دو مقدار خطأ در شکل‌های (۱۷)، (۱۶) نشان داده‌ایم (در شکل (۱۷) قسمت‌های دارای اعوجاج مشخص شده‌اند). شکل‌های ۲۰، ۱۸، ۱۹، میزان PSNR به دست آمده ناشی از به کارگیری روش پیشنهادی در مقایسه با روش دیسایاناکی برای تمامی فایل‌های ویدئویی اخبار، فورمن (با فرمت CIF) و فوتbal با نرخ ارسال‌های ۱۴۴، ۶۴ و ۲۵۶ کیلوبریت برثانیه نشان می‌دهد. همچنین شکل‌های (۲۱، ۲۲، ۲۳) میزان PSNR به دست آمده ناشی از به کارگیری روش پیشنهادی در مقایسه با روش فاروق برای تمام ۱۲۳ فریم فورمن با فرمت CIF نشان می‌دهد. تنها تفاوت شکل‌های ۲۱، ۲۲، ۲۳ در نرخ تولید منبع است. به این معنا که هر چه نرخ کدکننده منبع بیشتر شود، فریم‌ها نسبت به اعوجاج و نویه کانال قوی‌تر می‌شوند. همچنین در شکل‌های (۲۴، ۲۵، ۲۶) میزان قوی سه نرخ ارسال CIF با فرمت QCIF برای تمام ۱۰۵ فریم گردش پیاده محاسبه شده است و به همراه نتایج به دست آمده از روش فاروق رسم شده است. تنها تفاوت شکل‌های (۲۴، ۲۵، ۲۶) در نرخ تولید منبع است و هر چه نرخ کدکننده منبع بیشتر شود، فریم‌ها نسبت به اعوجاج و نویه کانال قوی‌تر می‌شوند. در ادامه تمامی فریم‌های فورمن دارای فرمت QCIF با روش فاروق برای سه نرخ ارسال ۲ Mbps و ۷۶۸ Kbps در شکل‌های (۲۷) و (۲۸) مقایسه شده‌اند. باید به این

برای بردار حركت آن ناحیه محاسبه و به بلوک تخمین حرکت نیز گزارش داده می‌شود که این بردار مربوط به چه تعداد از بلوک‌های است، سپس با روش توضیح داده شده در بخش ۲، ۱، ۴ فریم دریافتی بازیابی می‌شود.

## ۶- ارزیابی روش پیشنهادی

ابتدا به معرفی چندین پارامتر استفاده شده در شبیه‌سازی می‌پردازیم و سپس نتایج بدست آمده را با نتایج روش‌های دیسایاناکی<sup>۱</sup>، فاروق<sup>۲</sup> و الانگوان<sup>۳</sup> که به ترتیب در مراجع Dissanayake, 2012; Farooq Sabir, 2009; Elangovan, (2008) آورده شده‌اند و از روش‌های جدید در خصوص کدگذاری همزمان منبع و کانال هستند، مقایسه می‌کنیم. کانال استفاده شده در این مقاله کانال دودویی متقارن<sup>۴</sup> است که خطای به وجود آمده در این کانال شامل نویه سفید گوسی<sup>۵</sup>، فیدینگ با تابع چگالی احتمال رایلی<sup>۶</sup> است. در این مقاله از پنج قطعه ویدئو با نام‌های فورمن<sup>۷</sup>، گرددش پیاده<sup>۸</sup>، اخبار<sup>۹</sup>، سوزی<sup>۱۰</sup> (Xinb, 2007) و فوتبال<sup>۱۱</sup> (Ziegler, 2013) استفاده شده است. به عنوان مثال ویژگی دو نمونه از فایل‌های ویدئویی را شرح می‌دهیم. برای دیدن ویژگی فایل‌های دیگر می‌توان به مرجع معرفی شده مراجعه کرد. تعداد فریم‌های ویدئویی Foreman برای سه فرمت است که از این تعداد سه فریم به صورت تصویر I کد می‌شوند و ۱۲۰ فریم دیگر به سه قسمت چهل تایی که به صورت تصویر P کد و سپس ارسال می‌شوند. البته باید به این نکته اشاره کرد که هر کدام از سه فریمی که به صورت تصویر I کد شده‌اند در ابتدای هر قسمت چهل تایی که به صورت تصویر P کد شده‌اند، ارسال می‌شوند. اندازه فریم‌ها برابر با  $352 \times 288$  برای فرمت CIF و  $176 \times 144$  برای فرمت QCIF است.

همچنین نرخ ارسال فریم برابر با سی فریم در ثانیه است. تعداد فریم‌های Walk برای سه فریم است که از این تعداد پنج فریم تصویر I و صد فریم تصویر P هستند که هر بیست فریم تصویر P بین دو فریم تصویر I قرار دارد.

<sup>1</sup> Maheshi B. Dissanayake

<sup>2</sup> Muhammad Farooq

<sup>3</sup> Premkumar Elangovan

<sup>4</sup> Binary Symmetric Channel (BSC)

<sup>5</sup> AWGN

<sup>6</sup> Rayleigh fading PDF (Power Density Function)

<sup>7</sup> Foreman Secuences

<sup>8</sup> Walk Secuences

<sup>9</sup> News Secuences

<sup>10</sup> Suzie Secuences

<sup>11</sup> Soccer Secuences



هستند (از لحاظ اندازه و جهت برابر باشند) در یک ناحیه قرار می‌دهیم و سپس به جای ارسال چندین بردار حرکت، یک بردار حرکت به نمایندگی از تمام آنها ارسال می‌شود که نرخ کدگذاری متناسب با تعداد بیت‌هایی اضافی به دست آمده از بردارهای حرکت بلوک‌های موجود در هر ناحیه است. بنابراین اعوجاج‌هایی را که به دلیل خطأ در بردارهای حرکت پدید می‌آیند با این روش به حداقل رسانده‌ایم. نتایج آزمایش‌های انجام‌گرفته نشان می‌دهد که روش پیشنهادی در مقایسه با روش‌های جدید قادر است PSNR و در نتیجه کیفیت بالاتری را برای فریم‌های ویدئویی دریافتی فراهم کند.

## مراجع

Bystrom M. and Modestino J. W., "Combined source-channel coding schemes for video transmission over an additive white Gaussian noise channel," IEEE J. Sel. Areas Communication., vol. 18, no. 6, pp. 880–890, Jun. 2000.

Carlson B., Communication Systems. An Introduction to Signals and Noise in Electrical Communication, 3rd Edition, McGraw-Hill, New York, 1986.

Cheung G. and Zakhor A., "Bit allocation for joint source/channel coding of scalable video," IEEE Trans. Image Process., vol. 9, no. 3, pp. 340–356, Mar. 2000.

Dissanayake M. B., "A Novel Error Robust Video Coding Concept Using Motion Vectors and Parity Bits", 7th IEEE International Conference on Industrial and Information Systems (ICIIS), pp. 1 - 6, 2012.

Elangovan P., "Motion Vector Smoothing Algorithm for Robust Wireless Multimedia Communications", 4th IEEE International Conference on Circuits and Systems for Communications (ICCS), pp. 466-470 , 2008.

Farooq Sabir M., Heath R. W. and Cornard Bovik A., "Joint Source-Channel Distortion Modeling for MPEG-4 Video", IEEE Trans. Image Processing. , Vol. 18, no. 1, January. 2009.

Flierl M. and Girod B., "Video Coding with Superimposed Motion-Compensated Signals", Kluwer Academic, ISBN 1-4020-7759-9 2004.

Huffman D.A., "A method for the construction of minimum redundancy codes", Proc. IRE, Vol. 40, pp.1098-1101, 1952.

نکته توجه کرد که در روش پیشنهادی هر چه اندازه فریم‌های ویدئویی کوچک‌تر شود، بهمود کیفیت روش پیشنهادی پایین می‌آید. دلیل این امر آن است که در فریم‌های کوچک‌تر فضاهایی که دارای بردار حرکت یکسان هستند، به دلیل محدودشدن فریم کاهش پیدا می‌کند.

در این گام روش پیشنهادی را با روش الانگوان برای دو فایل فورمن و سوزی با نرخ ارسال ۱۲۸ کیلوبریت بر ثانیه مقایسه کرده‌ایم، که نتیجه این مقایسه را در شکل‌های ۳۰ و ۳۱ نشان می‌دهیم. پس از انجام مقایسه بین روش پیشنهادی و چندین روش جدید، به این نتیجه رسیدیم که روش پیشنهادی توانسته است بدون افزایش نرخ بیت ارسالی کیفیت فریم‌های دریافتی را افزایش دهد.

در انتها روش پیشنهادی با روش معروف جستجوی سه مرحله‌ای<sup>۱</sup> (TSS) مقایسه شده است. در این روش نحوه جستجو به صورت نشان‌داده شده در شکل (۳۲) است. همان‌طور که در شکل (۳۲) نشان داده شده است، ابتدا در ۹ ناحیه اولیه اطراف منطقه مورد نظر که به فاصله چهار پیکسل اطراف پیکسل مرکزی است به جستجوی کمترین تغییر پرداخته می‌شود. در گام دوم، پس از انتخاب کمترین تغییر در یکی از ۹ ناحیه، پنجره‌ای با فاصله دو پیکسل ساخته شده و به بررسی مجدد برای انتخاب کمترین تغییر پرداخته می‌شود. در آخرین مرحله (سومین مرحله)، طول پنجره جستجو به یک پیکسل کاهش پیدا می‌کند و کمترین تغییر به عنوان بهترین محل برای انتخاب بردار حرکت است. این مقایسه در شکل ۳۳ برای تمامی فریم‌های ویدئویی استفاده با فرمت QCIF محاسبه و نشان داده شده است.

## ۷- نتیجه‌گیری

یکی از دلایل کیفیت نامطلوب تصاویر ویدئویی دریافتی، ایجاد خطأ در بردارهای حرکت دریافت شده است که در روش پیشنهادی به دلیل مقاوم‌سازی نواحی بزرگ‌تر با استفاده از افزایش نرخ کدگذاری کانال برای بردار حرکت مربوط به این نواحی توانسته‌ایم PSNR فریم‌های ویدئویی را در گیرنده افزایش دهیم. به این معنا که فریم‌های دریافتی با روش پیشنهادی کیفیت بالاتری دارند. برای افزایش نرخ کدگذاری کانال بدین صورت عمل کردۀ‌ایم که بلوک‌هایی را که در همسایگی هم قرار دارند و دارای شیفت یکسان

<sup>1</sup> Three Step Search (TSS)

<sup>2</sup> Stefan

تحقیقاتی او پردازش سیگنال‌های دیجیتال، تصویر و ویدئو  
می‌باشد.  
نشانی رایانمۀ ایشان عبارت است از:

P.etezadifar@birjand.ac.ir



حسن فرسی در سال ۱۳۴۸ در

شهرستان بیرجند به دنیا آمد. دوره  
کارشناسی و کارشناسی ارشد خود را  
در رشته مهندسی برق - مخابرات در  
دانشگاه صنعتی شریف - تهران به  
ترتیب در سال‌های ۱۳۷۱ و ۱۳۷۴

به پایان رسانید. از سال ۱۳۷۱ به مدت یک‌سال در مرکز  
تحقیقات مخابرات ایران مشغالت داشت. در سال ۱۳۷۴ به  
عضو هیئت علمی دانشگاه بیرجند درآمد و مدرک دکترای  
خود را از دانشگاه Surrey انجلستان در زمینه پردازش  
سیگنال‌های دیجیتال اخذ کرد. در حال حاضر وی عضو  
هیئت علمی دانشگاه بیرجند می‌باشد. زمینه کاری او  
پردازش سیگنال‌های دیجیتال، پردازش صحبت و تصویر  
می‌باشد.

نشانی رایانمۀ ایشان عبارت است از:

Hfarsi@birjand.ac.ir

Kim J. N., Choi T. S., "A Fast Three-Search Algorithm with Minimum Checking Points Using Unimodal Error Surface Assumption" Proc. IEEE, vol. 44, no. 3, pp. 638–648, August 1998.

Kondi L. P., Ishtiaq F., and Katsaggelos A. K., "Joint source-channel coding for motion-compensated DCT-based SNR scalable video," IEEE Trans. Image Process., vol. 11, no. 11, pp. 1043–1052, Sep. 2002.

Moreira J. C. and Farrell P. G., "Essentials of Error-Control Coding", John Wiley & Sons, Ltd, 2006.

Proakis J. G., Digital Communications, McGraw Hill, Hardcover, 1995.

Richardson I. E. G., "H.264 and MPEG-4 Video Compression, Video Coding for Next-generation Multimedia", New York: Wiley, 2003.

Salomon D., "Data Compression", Third Edition, Springer, 2004.

Shannon C. E., "Communications in the presence of noise," Proc. IEEE, vol. 86, no. 2, pp. 447–458, February 1998.

Shannon, C. E., "A mathematical theory of communication," Bell Syst. Tech. J., vol. 27, pp. 379–423, 623–656, July and October 1948.

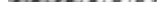
Shi Y. Q. and Sun H., "Image and Video Compression for Multimedia Engineering, Fundamentals, Algorithms, and Standards", ISBN 0-8493-3491-8, 1999.

Xinb G., 2007,  
[http://see.xidian.edu.cn/vipsl/database\\_Video.html](http://see.xidian.edu.cn/vipsl/database_Video.html)

Zhai F., Eisenberg Y., Pappas T., Berry R., and Katsaggelos A., "Rate-distortion optimized hybrid error control for real-time packetized video transmission," IEEE Trans. Image Process., vol. 15, no. 1, pp. 40–53, Jan. 2006.

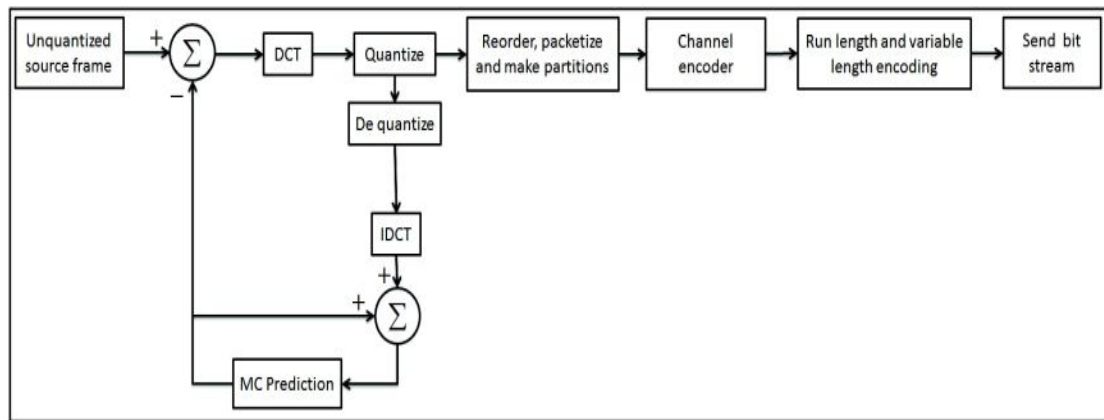
Ziegler G., 2013, Video Test Media [derfs collection]; in <https://media.xiph.org/video/derf/>

پوریا اعتضادی فر در سال ۱۳۶۸ در  
شهرستان نیشابور به دنیا آمد. دوره  
کارشناسی و کارشناسی ارشد خود را در  
دانشگاه بیرجند در رشته برق -  
مخابرات به ترتیب در سال‌های ۱۳۹۰ و  
۱۳۹۲ به پایان رسانید. او در حال حاضر دانشجوی دکترا  
مهندسی برق - مخابرات در دانشگاه بیرجند می‌باشد. زمینه

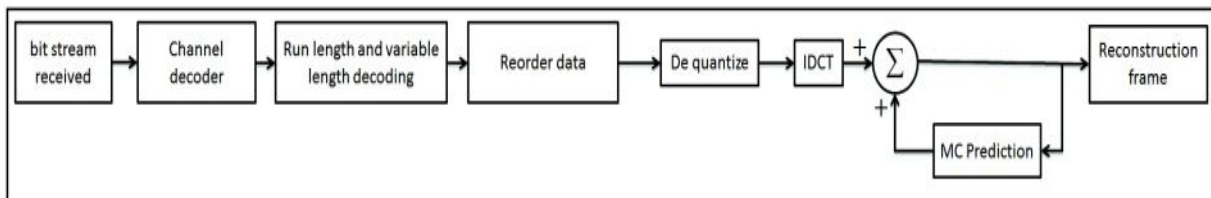


IBBPBPPBBPBBPI.....  
IPPIPPPIPPIPPIPPI.....  
IIIIIIIIIIIIIIIIII.....

شکل - (۱): نمونه‌ای از ساختار GOP



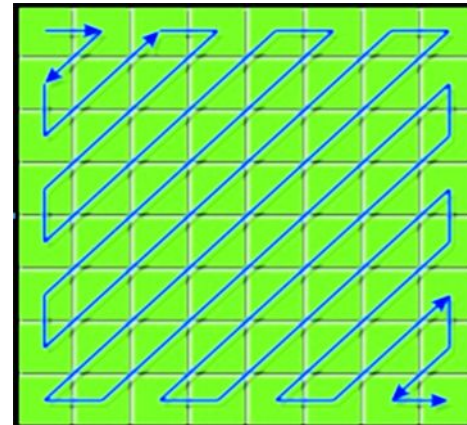
شکل - (۲): کدکننده MPEG-4 برای تصویر P



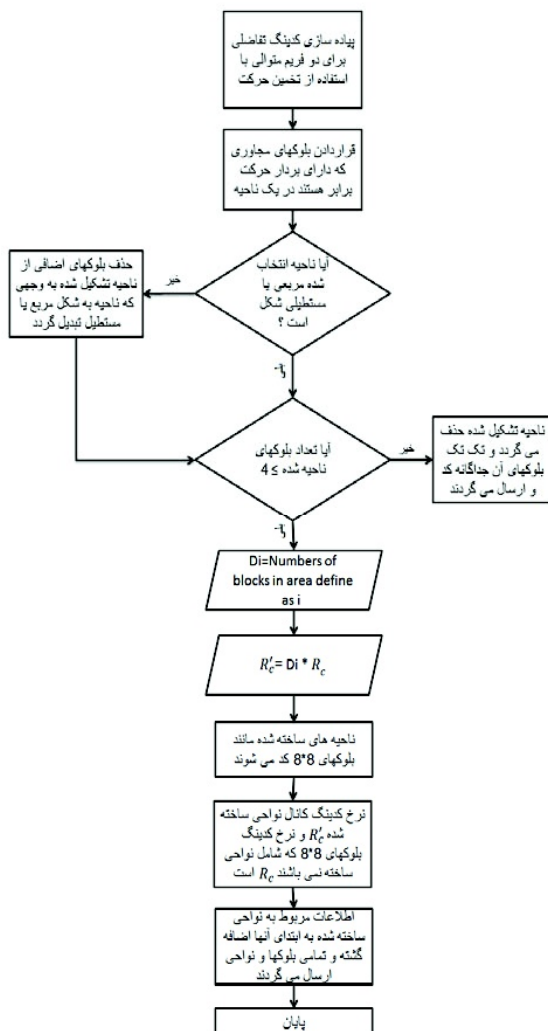
شکل - (۳): کدگشای MPEG-4 برای تصویر P



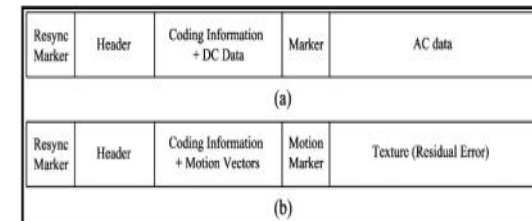
(شکل - ۷): مشخص کردن قسمت هایی از تصویر نشان داده شده در شکل ۶ که به دلیل خطا در بردارهای حرکت چار اوجاج شده است



(شکل - ۸): نحوه انتخاب ضرایب DCT برای چیدن کنار هم در روش زیگزاگ



(شکل - ۹): نمودار الگوریتم پیشنهادی



(شکل - ۱۰): ساختار بسته بندی برای (a) فریم I و (b) فریم P



(شکل - ۱۱): تصویر Foreman پس از عبور از کانال مخابراتی با  $BER = 10^{-3}$



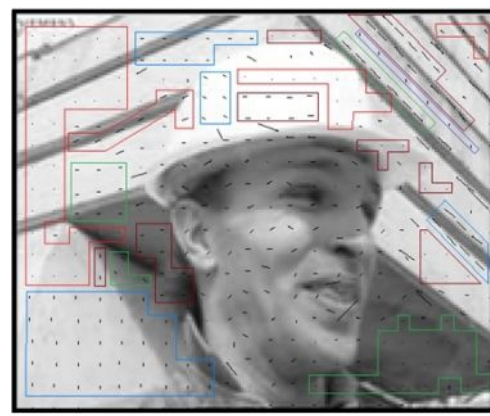
(شکل-۱۲): مشخص نمودن نواحی که دارای تعداد کمتر از ۴ بلوک هستند



(شکل-۹): نشان دادن بردارهای حرکت محاسبه شده برای بلوک های  $8 \times 8$  برای تصویر Foreman



(شکل-۱۳): تصویر نهایی پس از انجام عملیات حذف نواحی با تعداد بلوک کمتر از ۴



(شکل-۱۰): مشخص نمودن قسمت هایی از تصویر که دارای بردار حرکت برابر هستند

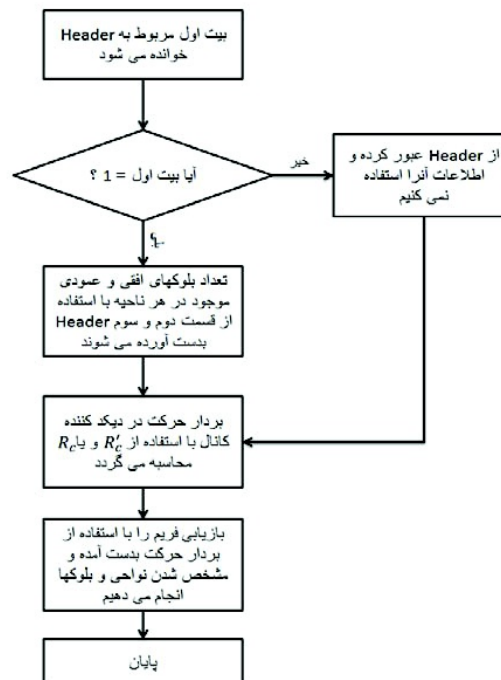


(شکل-۱۱): انتخاب قسمت هایی از تصویر که دارای ساختار مربعی یا مستطیلی هستند

فصل نهم

<p>۴ بیت اختصاص داده شده به منظور نشان دادن تعداد بلوکهای موجود در هر ناحیه در راستای عمودیکه در صورت پک بردن بیت اولیه این اطلاعات خوانده میشوند و گزنه از این قسمت گیرنده از این قسمت عبور میکند</p>	<p>یک بیت برای مشخص نمودن اینکه اطلاعات دریافتی پس از این سته مریبوط به بلوک ۸ است با مریبوط به یک ناحیه شامل چند بلوک</p>
--	--

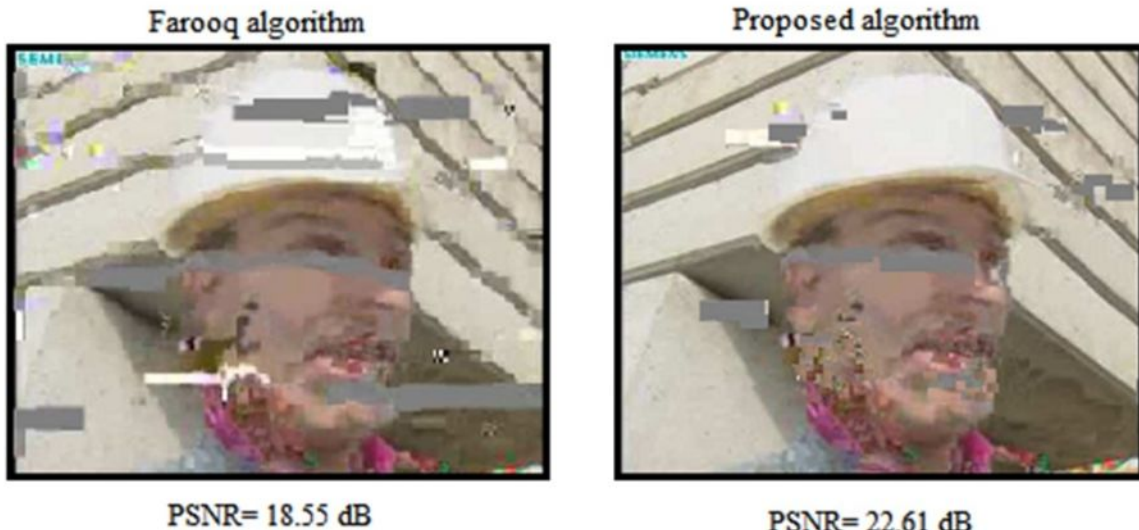
(شکل-۱۴): نمایش بیت‌های اضافه شده در Header برای مشخص کردن اطلاعات مریبوط به ناحیه ساخته شده



(شکل-۱۵): نمودار دیکدکننده روشن پیشنهادی

(جدول-۱): نرخ کدگذار کانال برای دو فایل ویدئویی Foreman و Walk با نرخ‌های ارسال مختلف

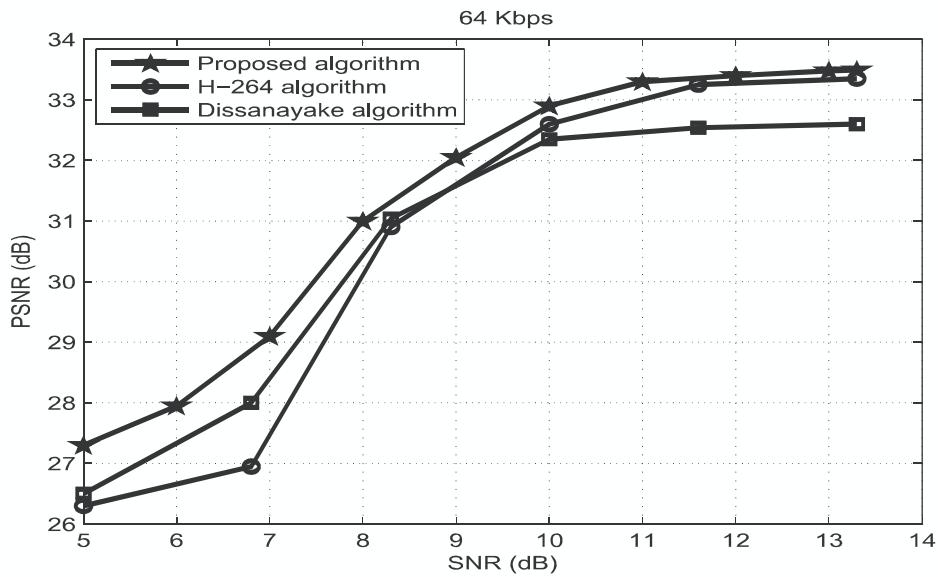
نرخ ارسال منبع	فایل ویدئویی ارسال شده	n	k	R <sub>c</sub>
۳۸۴Kbps	Foreman	۱۵	۷	۰/۴۶۶
۷۶۸Kbps	Foreman	۱۵	۳	۰/۲
۲Mbps	Foreman	۳۱	۲	۰/۰۶۴۵
۲۵۶Kbps	Walk	۱۵	۹	۰/۶
۵۱۲Kbps	Walk	۱۵	۵	۰/۳۳
۱.۵Mbps	Walk	۳۱	۴	۰/۱۲۹
۶۴Kbps	News	۳۱	۲۷	۰/۸۷
۱۴۴ Kbps	Foreman	۳۱	۲۱	۰/۶۷۷
۲۵۶ Kbps	Soccer	۱۵	۹	۰/۶
۱۲۸ Kbps	Foreman	۳۱	۲۳	۰/۷۴
۱۲۸ Kbps	Suzie	۳۱	۲۳	۰/۷۴



(شکل - ۱۶): مقایسه کیفیت فریم دهم از ویدئو Foreman به ازای خطأ کانال  $\text{BER} = 10^{-7}$  با نرخ تولید کدکننده منبع با مقدار ۵۱۲ Kbps

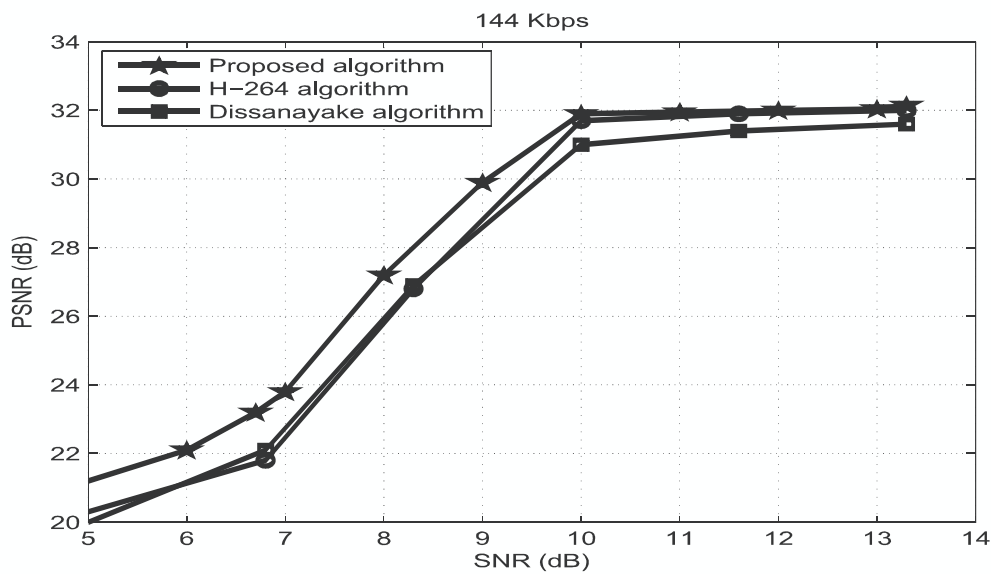


(شکل - ۱۷): مقایسه کیفیت فریم دهم از ویدئو Foreman به ازای خطأ کانال  $\text{BER} = 10^{-4}$  با نرخ تولید کدکننده منبع با مقدار ۵۱۲ Kbps



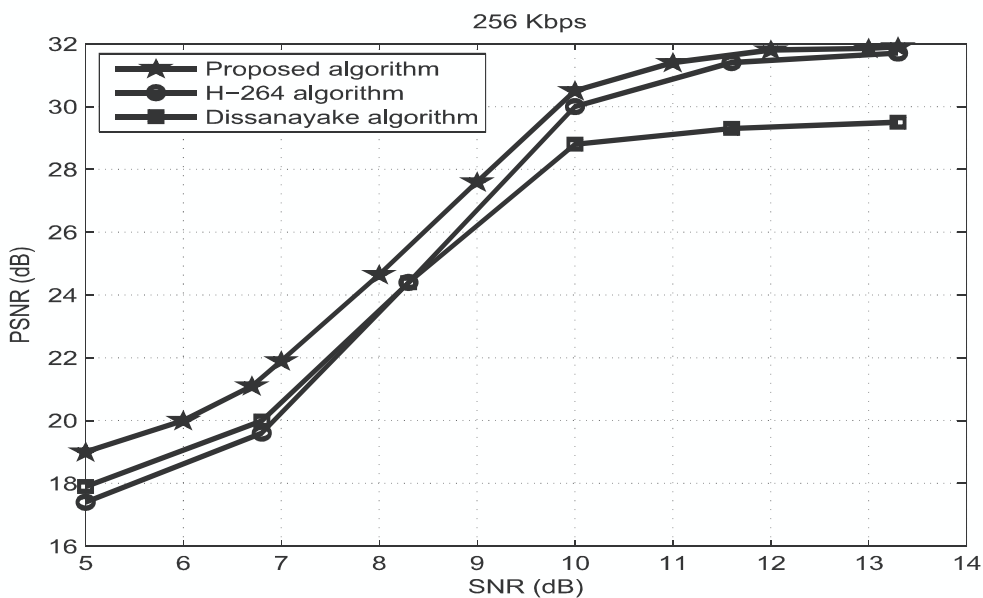
(شکل - ۱۸): مقایسه میانگین PSNR برای تمامی فریم‌های اخبار بین روش پیشنهادی و الگوریتم دیسانایکی با نرخ تولید کدکننده

منبع با مقدار ۶۴ Kbps

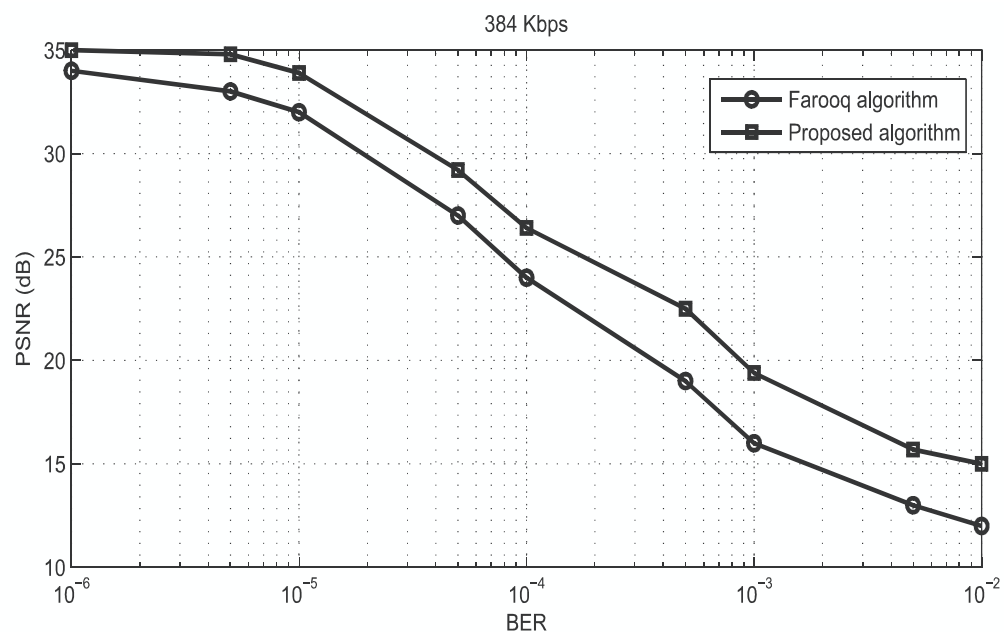


(شکل - ۱۹): مقایسه میانگین PSNR برای تمامی فریم‌های فورمن بین روش پیشنهادی و الگوریتم دیسانایکی با نرخ تولید کدکننده

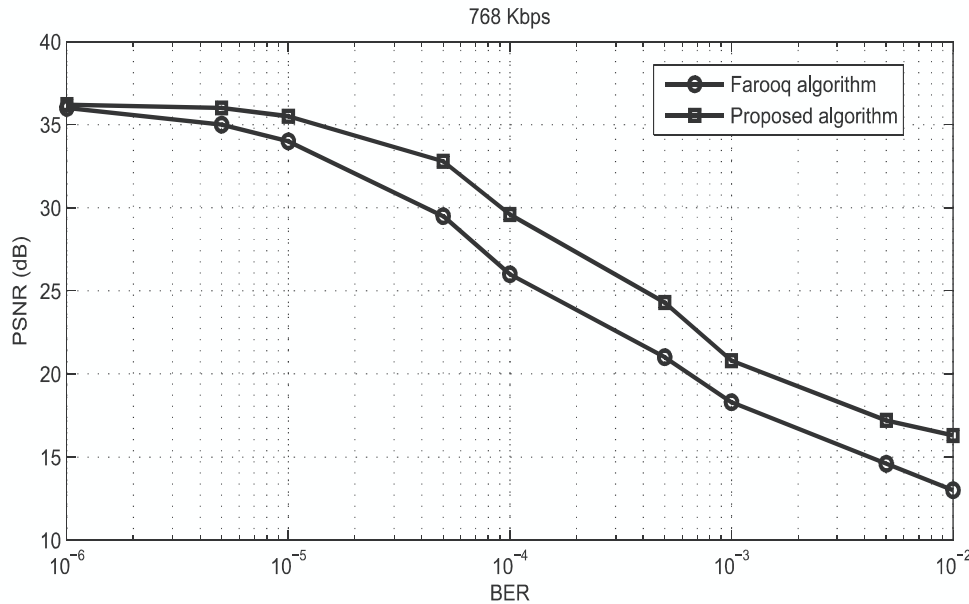
منبع با مقدار ۱۴۴ Kbps



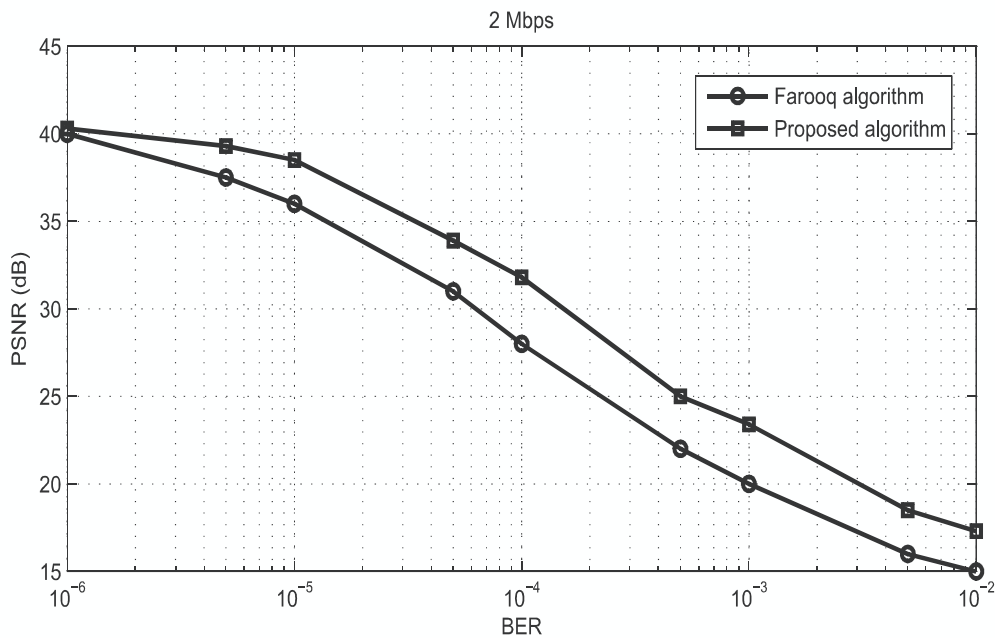
(شکل - ۲۰): مقایسه میانگین PSNR برای تمامی فریم‌های فوتیال بین روش پیشنهادی و الگوریتم دیسايانایاکی با نرخ تولید کدکننده ۲۵۶ Kbps  
منبع با مقدار ۲۵۶ Kbps



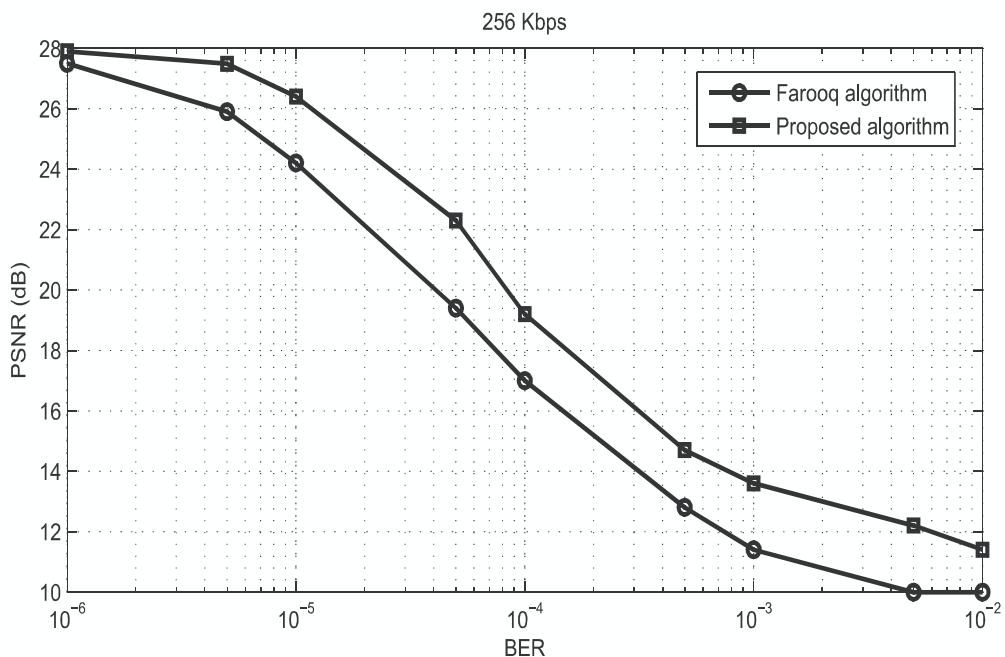
(شکل - ۲۱): مقایسه میانگین PSNR برای تمامی فریم‌های فورمن با فرمت CIF بین روش پیشنهادی و الگوریتم فاروق با نرخ تولید کدکننده ۳۸۴ Kbps  
منبع با مقدار ۳۸۴ Kbps



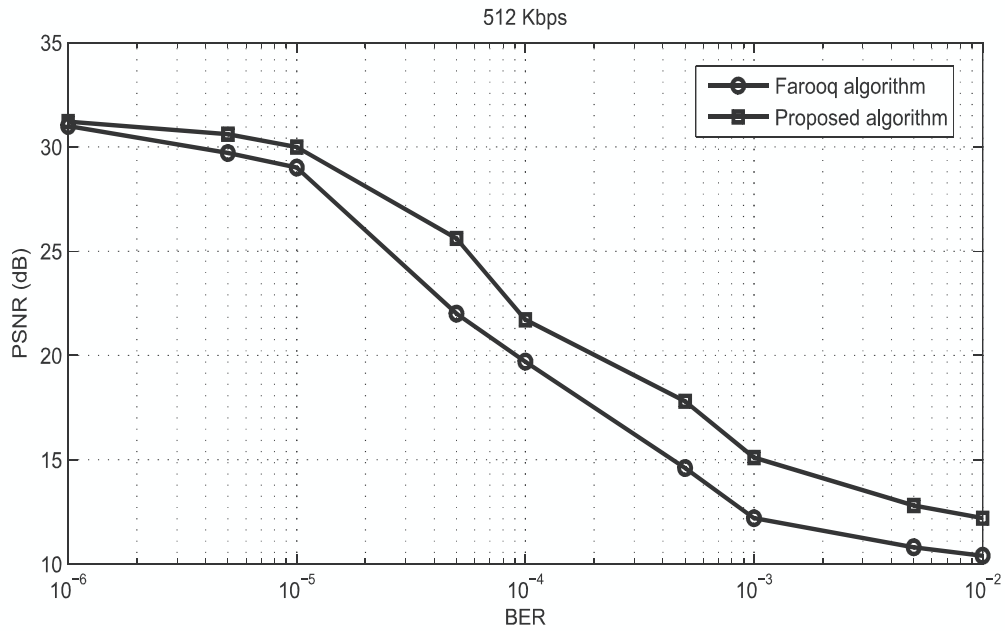
(شکل - ۲۲): مقایسه میانگین PSNR برای تمامی فریم‌های فورمن با فرمت CIF بین روش پیشنهادی و الگوریتم فاروق با نرخ تولید کدکننده منبع با مقدار ۷۶۸ Kbps



(شکل - ۲۳): مقایسه میانگین PSNR برای تمامی فریم‌های فورمن با فرمت CIF بین روش پیشنهادی و الگوریتم فاروق با نرخ تولید کدکننده منبع با مقدار ۲ Mbps

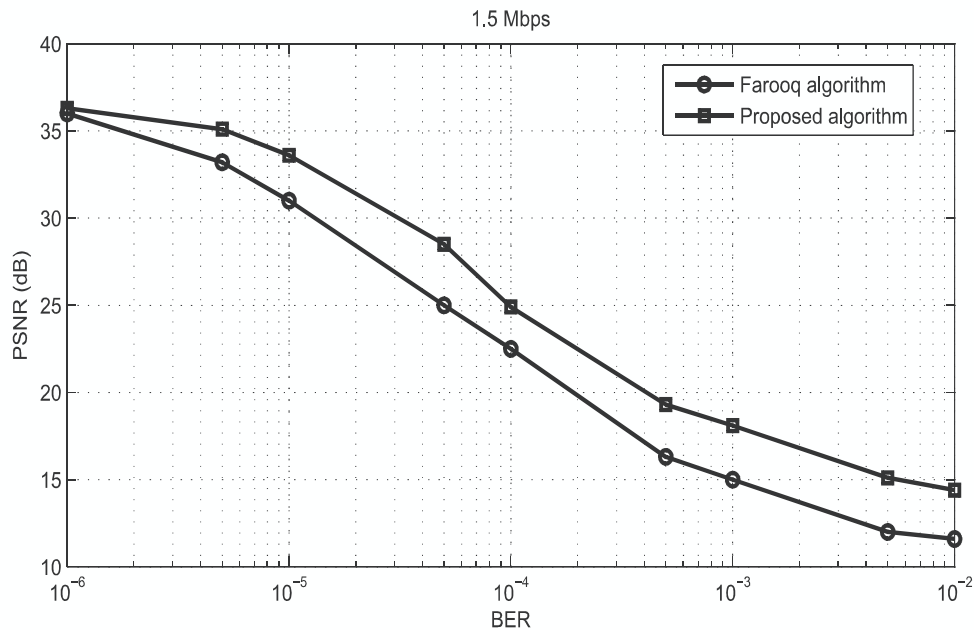


(شکل - ۲۴): مقایسه میانگین PSNR برای تمامی فریم‌های گردش پیاده بین روش پیشنهادی و الگوریتم فاروق با نرخ تولید کدکننده منبع ۲۵۶ Kbps با مقدار

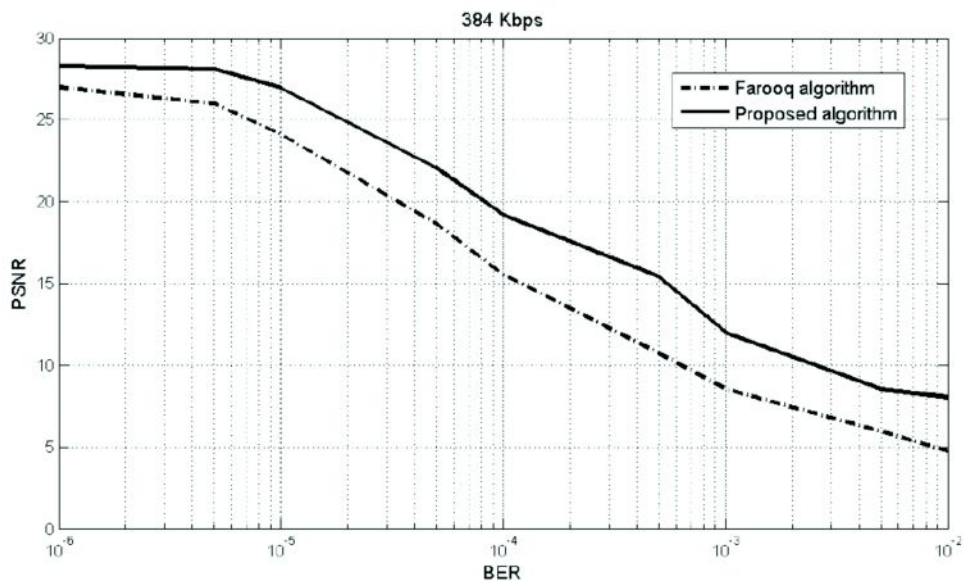


(شکل - ۲۵): مقایسه میانگین PSNR برای تمامی فریم‌های گردش پیاده بین روش پیشنهادی و الگوریتم فاروق با نرخ تولید کدکننده منبع ۵۱۲ Kbps با مقدار

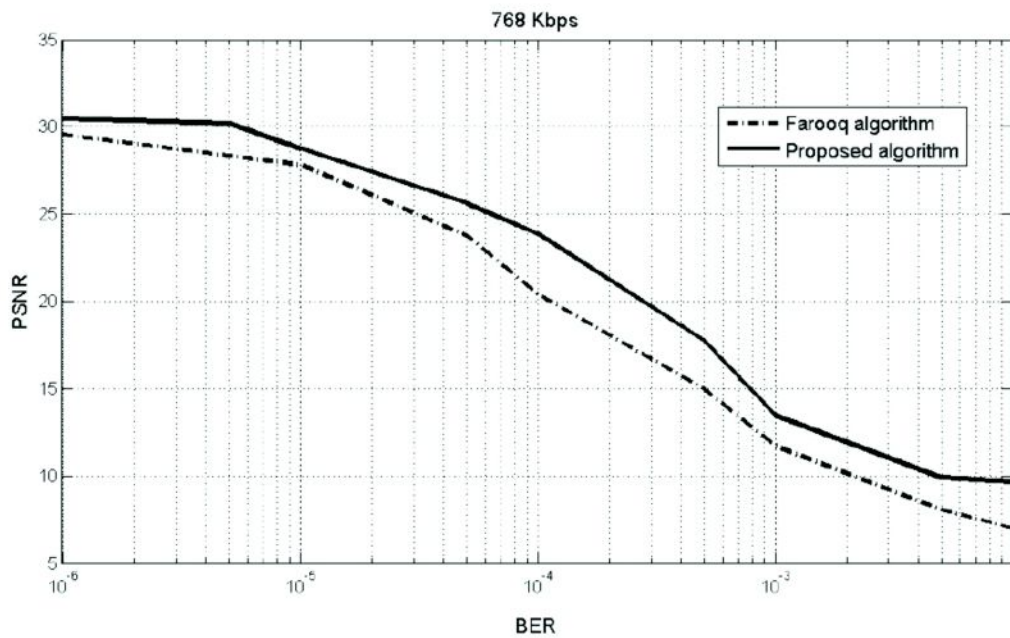
فصل نهم



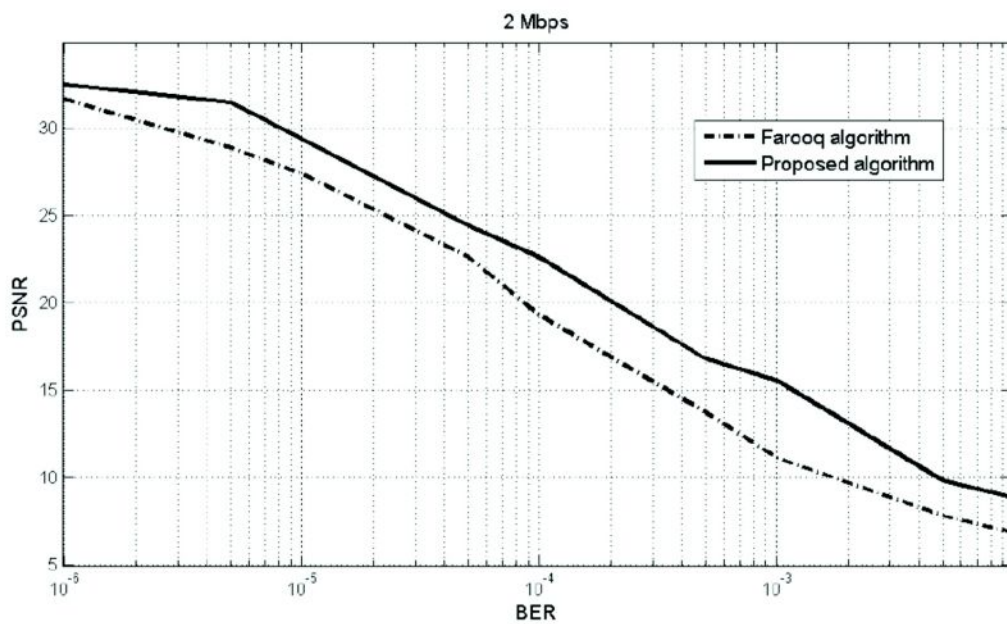
(شکل-۲۶): مقایسه میانگین PSNR برای تمامی فریم‌های گردش پیاده بین روش پیشنهادی و الگوریتم فاروق با نرخ تولید کدکننده منبع ۱.۵ Mbps با مقدار



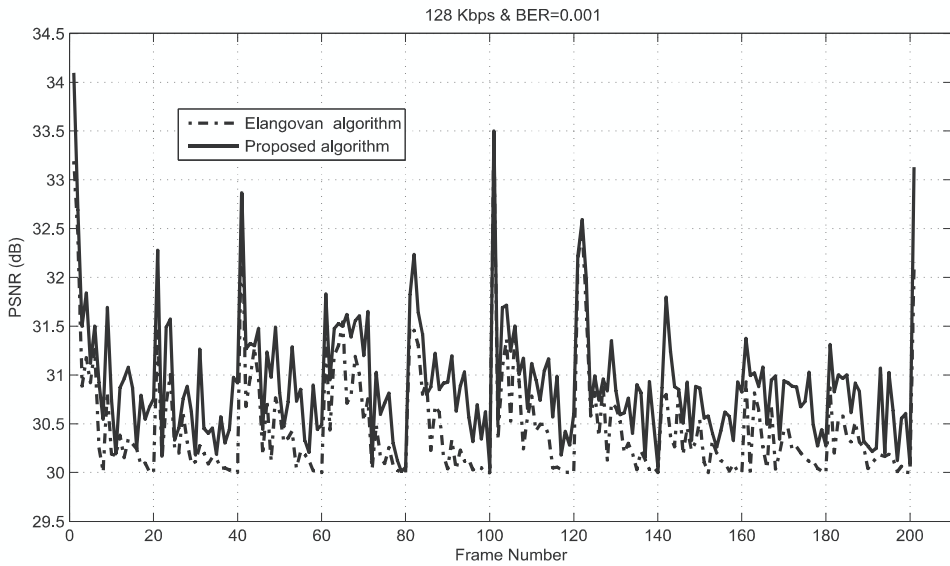
(شکل-۲۷): مقایسه میانگین PSNR برای تمامی فریم‌های فورمن با فرمت QCIF بین روش پیشنهادی و الگوریتم فاروق با نرخ تولید کدکننده منبع با مقدار ۳۸۴ Kbps



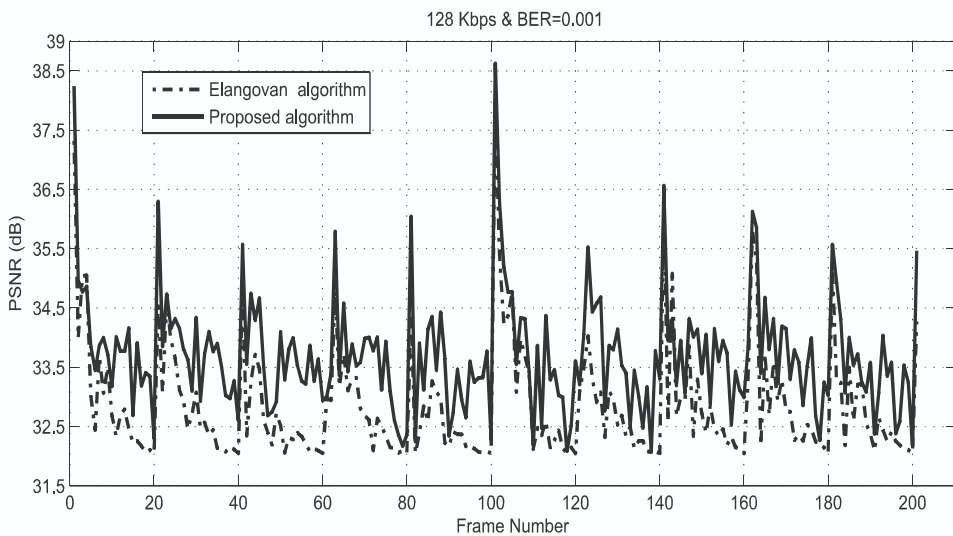
(شکل - ۲۸): مقایسه میانگین PSNR برای تمامی فریم‌های فورمن با فرمت QCIF بین روش پیشنهادی و الگوریتم فاروق با نرخ تولید کدکننده منبع با مقدار ۷۶۸ Kbps



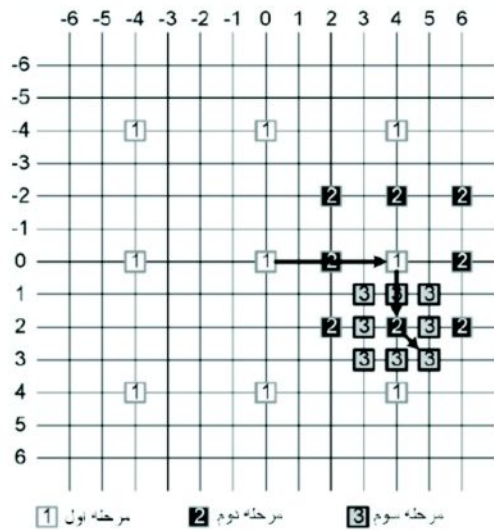
(شکل - ۲۹): مقایسه میانگین PSNR برای تمامی فریم‌های فورمن با فرمت QCIF بین روش پیشنهادی و الگوریتم فاروق با نرخ تولید کدکننده منبع با مقدار ۲ Mbps



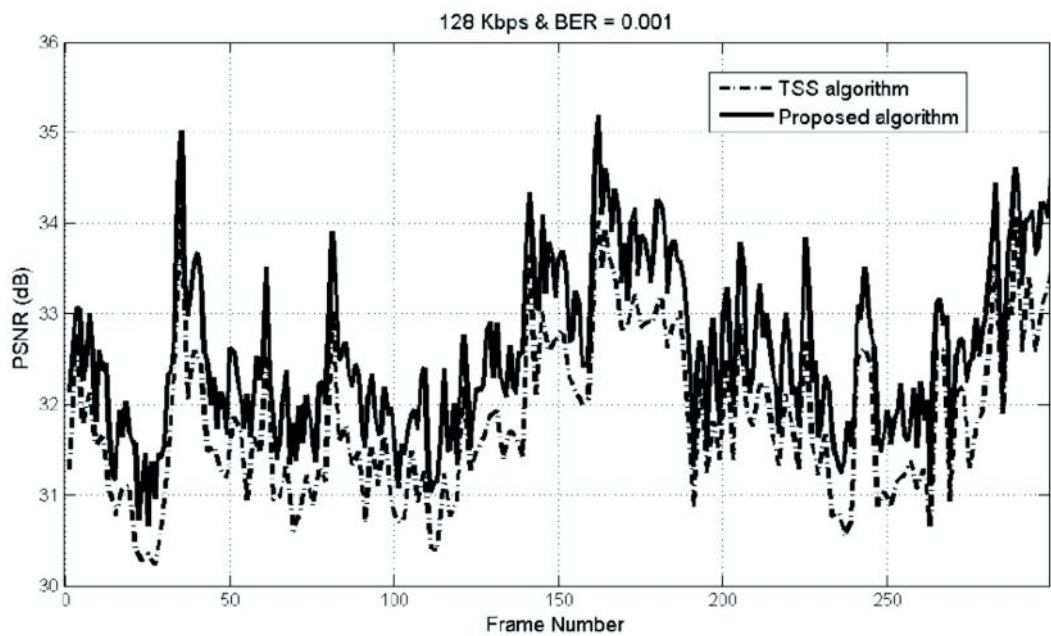
(شکل - ۳۰): مقایسه PSNR برای تمامی فریم‌های گردش فورمن روش پیشنهادی و الگوریتم الانگوان با نرخ تولید کدکننده منبع با مقدار ۱۲۸ Kbps



(شکل - ۳۱): مقایسه PSNR برای تمامی فریم‌های گردش سوزی روش پیشنهادی و الگوریتم الانگوان با نرخ تولید کدکننده منبع با مقدار ۱۲۸ Kbps



(شکل-۳۲): نمایش الگو جستجو و نحوه پردازش بردار حرکت در الگوریتم جستجو ۳ مرحله‌ای



(شکل-۳۳): مقایسه PSNR برای تمامی فریم‌های استفان روش پیشنهادی و الگوریتم جستجو ۳ مرحله‌ای با نرخ تولید کدکننده منبع با مقدار ۱۲۸ Kbps